

## マレーバク (*Tapirus indicus*) 糞便中に認められた虫卵の COX1 および ITS 領域塩基配列を指標とした寄生蠕虫類同定の試み

大塚浩子<sup>1)</sup>, 大沼 学<sup>2・3)</sup>, 福本真一郎<sup>1)</sup>, 向井 猛<sup>4)</sup>, 白水 彩<sup>4)</sup>, 千葉 司<sup>4)</sup>, 浅川満彦<sup>1, 5)</sup>

1) 酪農学園大学獣医学部獣医寄生虫学教室 〒069-8501 北海道江別市文京台緑町 582 番地

2) 北海道大学大学院獣医学研究科生態学教室 〒060-0818 北海道札幌市北区北 18 条西 9 丁目

3) 京都大学靈長類研究所人類進化モデル研究センター 〒484-8506 愛知県犬山市官林 41

4) 札幌市円山動物園 〒064-0959 北海道札幌市中央区宮ヶ丘 3 番地 1

5) 酪農学園大学野生動物医学センター 〒069-8501 北海道江別市文京台緑町 582 番地

(2003.1.31 受付, 2003.7.29 受理)

### Parasite Identification Based on the Sequences of COX1 and ITS Obtained from Fecal Eggs in an Asian Tapir (*Tapirus indicus*)

Hiroko OTSUKA<sup>1)</sup>, Manabu ONUMA<sup>2・3)</sup>, Shin-ichiro FUKUMOTO<sup>1)</sup>, Takeshi MUKAI<sup>4)</sup>,  
Aya SHIROZU<sup>4)</sup>, Tsukasa CHIBA<sup>4)</sup> and Mitsuhiro ASAKAWA<sup>1, 5)</sup>

1) Department of Parasitology, School of Veterinary Medicine, Rakuno Gakuen University,  
Ebetsu, Hokkaido 069-8501, Japan

2) Laboratory of Wildlife Biology, Graduate School of Veterinary Medicine, Hokkaido University,  
N18 W9 Kita-ku, Sapporo, Hokkaido 060-0810, Japan

3) Center for Human Evolution Modeling Research, Primate Research Institute, Kyoto University, Inuyama, Aichi 484-8506, Japan

4) Sapporo Maruyama Zoo, Miyagaoka, Chuo-ku, Sapporo, Hokkaido 064-0959, Japan

5) Wild Animal Medical Center, Rakuno Gakuen University, Ebetsu, Hokkaido 069-8501, Japan

**ABSTRACT.** On November 13, 2000, an Asian tapir (*Tapirus indicus*) was transferred from the Melaka Zoo in Malaysia to the Sapporo Maruyama Zoo in Japan. During quarantine at the Sapporo Maruyama Zoo, nematode and cestode eggs were observed and disinfestation was conducted using Praziquantel. Segments were found in feces, but it was impossible to identify the cestode species morphologically because all were gravid segments filled with eggs. DNA extraction was conducted from the parasite eggs in the feces and from the segments. Sequences of cytochrome c oxidase subunit 1 (COX1) in mitochondrial DNA and internal transcribed spacer (ITS) were ascertained. The results of a homology search showed that the sequences of ITS obtained from both the parasite eggs and the segments were similar to the sequence of a fungus. Two kinds of COX1 sequence were obtained from the parasite eggs; one was similar to *Ancylostoma*, while the other, a sequence that was the same as that obtained from the segments, was related to *Paranoplocephala*. The results of the present study indicated that species identification might be possible based on sequences obtained from parasite eggs in feces. Furthermore, the method might be useful for diagnosis of parasite infections in wild species with only scarce information about parasitic helminth fauna.

Key words : Asian tapir, feces, helminth egg, COX1, ITS

*Jpn. J. Zoo. Wildl. Med.* 9(1) : 31-37, 2004

### 序 論

現在日本には、多種多様な動物が愛玩用や動物園の展示動物として海外から輸入されている。しかし、それらの導入時に動

物検疫はほとんど行われていないのが現状である。そのため、原産国で感染した病原生物が、その動物の移動に伴って日本国内に持ち込まれる危険性が非常に高い。寄生蠕虫類については動物園動物やペット用エキゾチックアニマルを対象にした調査

によって、外来寄生蠕虫の存在がすでに国内で確認されている[1-5]。

これらの寄生虫は人や同居している展示動物、さらには家畜や国内の野生動物へ感染を広げる可能性が十分に考えられる。また、このような外来寄生虫感染の広がりによって畜産分野や国内の野生動物に経済的、生物学的影響が及ぶ可能性がある。そのため早期に感染個体を確認し、適切な処置を施すことが重要である。したがって、エキゾチックアニマルや動物園動物を対象にした寄生蠕虫類の早期診断法の開発が必要だと考えられる。

消化管寄生蠕虫類の一般的な生前診断は、糞便検査による虫卵や幼虫の検出、体外に排出された虫体の形態観察により行われている。したがって、対象動物の寄生蠕虫相について情報が蓄積されている場合は、糞便内虫卵の形態や体外に排泄された虫体の形態観察により種を同定することが可能である。しかし、そのような蓄積のない動物の場合、従来の形態学的な方法だけでは診断が難しい場合がある。また、虫卵のみまたは虫体の断片のみから種を同定することも形態学的な方法では困難である。最近では寄生虫種特異的なプライマーを作製し、虫卵から抽出したDNAをテンプレートに用いてPCRを行い、感染している消化管線虫の種を同定する方法が開発されている[6]。しかし、この方法は感染の可能性のある寄生虫種がかなり限定できる場合にのみ応用可能な方法である。したがって、寄生蠕虫相が未知の場合が多い野生動物に応用することは困難である。

本研究では寄生虫相の情報の乏しい希少動物における感染寄生虫の生前における種同定を虫卵のみで可能にする方法を開発するため、虫卵由来DNAをテンプレートにPCRを行い、そのPCR産物の塩基配列によって寄生蠕虫の同定が可能か検討した。同定を行う上で指標となる配列は、寄生蠕虫類の分類に多用され情報が蓄積しているミトコンドリアの cytochrome c oxidase subunit 1 (COX1) 遺伝子および核ゲノム中に存在する Internal transcribed spacer 領域 (ITS)とした[7, 8]。

## 材料と方法

### 1. 供試動物

2000年11月13日にマレーシアのマラッカ動物園から札幌市円山動物園に搬入されたマレーバク (*Tapirus indicus*) 雌一頭を供試動物とした。このマレーバクは野生下で衰弱していたところをマラッカ動物園に保護収容されたものである。円山動物園における検疫期間中にショ糖浮遊法を用いて糞便検査をおこなった結果、このマレーバクからは線虫卵 (EPG 0.8) と多数の条虫卵が検出された(図1)。

### 2. 虫卵及び条虫片節の採取およびその形態観察

マレーバク糞便内の条虫卵および線虫卵はショ糖浮遊法により回収した。この虫卵の一部を使用して形態観察を行い、他のものはDNAを抽出するまで-30°Cで保存した。虫卵の外部計測は条虫卵のみで実施した。片節は、ドロンシット®(プラジケアンテル 5 mg/錠、バイエル)を30錠経口投与した2日後に糞便内へ排泄されたものを回収した。この片節の一部を酢酸カーミン染色し形態観察を行った。残った片節はDNAの抽出を行うまで70%エタノール中に保存した。

### 3. 粪便中虫卵の COX1 および ITS 領域の塩基配列決定

#### 3-1. 粪便中虫卵からのDNA抽出

マレーバクの糞便30gに蒸留水を加えて茶こしで濾し、その濾液を用いてショ糖浮遊法を行った。その後、上清の表面部分をピペットで約500 μl採取し、1.5 mlのエッペンチューブに分注した。これに蒸留水を約500 μl加え、全量を1.0 mlとした。そのチューブを用いて20,000×g、10分の遠心分離を行い、上清を捨てた。沈渣を再び蒸留水で1mlまでメスアップし、再び同様の遠心分離を行った。これらの作業を5回繰り返し、虫卵の洗浄を行った。最後に沈渣の入ったチューブを沸騰水中で10分間インキュベートし、DNA抽出用サンプルとした。このサンプルから市販のDNA抽出キット(QIAamp DNA Stool Mini Kit, Qiagen)を使用しDNAの抽出を行った。

#### 3-2. PCR

PCR用プライマーはITS領域増幅用としてA (5'CGTAGGTGAAACCTGCGGAAGGATCA3') [9]とHC2 (5'ATATGCTTAAAGTCAGCGGG3') [10]を、COX1増幅用としては肝蛭 (*Fasciola hepatica*)のCOX1配列をもとに作製された239 (5'TTTTTGGCATCCTGAGGTTAT3') [11]と240 (5'TAAA GAAAGAACATAATGAAAATG3') [11]を使用した。プライマーAとHC2によって増幅されるPCR産物のサイズは約1,000 bpと予想された。また、プライマー239と240によって増幅されるPCR産物のサイズは約450 bpと予想された。これらのプライマーは本研究室のこれまでの実験結果から葉状条虫 (*Anoplocephala perfoliata*)、大条虫 (*A. magna*)、拡張条虫 (*Moniezia expansa*)、ベネデン条虫 (*M. benedeni*)、牛捻転胃虫 (*Mecistocirrus digitatus*)、*Spiculopteragia houdemeri*、*Nippostrongylus brasiliensis*、*Orientstrongylus ezoensis*でPCRに使用可能であると確認されている(大沼、未発表)。PCR反応液(50 μl)の組成を以下に示す。GeneAmp 10 × PCR BufferU (Applied Biosystems) : 5 μl, 25mM MgCl<sub>2</sub>溶液 : 3 μl(最終濃度1.5mM), GeneAmp dNTP MIX (Applied Biosystems) : 5 μl(各塩基の最終濃度200 μM), 各プライマー : 1 μl(各プライマーの最終濃度0.5 μM), AmpliTaq Gold (Applied Biosystems) : 0.25 μl(最終濃度1.25units), DNAテ

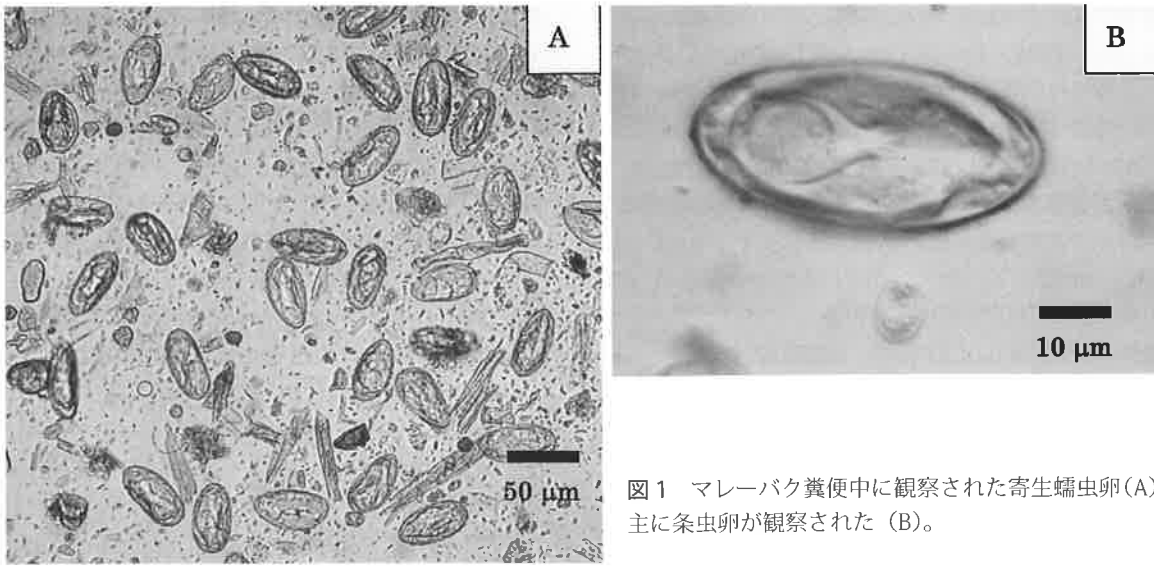


図1 マレーバク糞便中に観察された寄生蠕虫卵(A)。主に条虫卵が観察された(B)。

ンプレート: 5  $\mu$ l, 蒸留水: 29.75  $\mu$ l。PCR 条件は以下の通りである。95°C - 10 分間 1 サイクル, 続いて 94°C - 30 秒, アニーリング 55°C-30 秒, 伸張反応 72°C-30 秒を 35 サイクル, 最後に 72°C - 10 分間の伸張反応を行った。反応終了後, 反応液 5  $\mu$ l を 2% アガロースゲルで電気泳動した。その後, エチジウムプロマイド染色を施し PCR 産物の確認を行った。增幅が確認された場合は QIA quick PCR Purification Kit (QIAGEN) を用いて PCR 産物の精製を行った。

### 3-3. PCR 産物の塩基配列決定とホモロジー検索

pGEM® -T Easy Vector System 1 (Promega) を使用して精製された PCR 産物のクローニングを実施した。コンピーテンセルは DH5  $\alpha$  を使用し, 形質転換後 LBA 培地を使用して一晩培養した。その後, 生育したコロニーを対象に PCR によるインサートチェックを行った [12]。このとき使用したプライマーは M13-21 : 5'-TGTAAAACGACGCCAACT3' と M13-Reverse : 5'CAGGAAACAGCTATGACC3' である。そして COX1 については約 450bp の PCR 産物がインサートされていたコロニー 10 個, ITS 領域についてはインサートが確認されたコロニーからランダムに 10 コロニーを選択しシーケンシングを行った。シーケンシングには Dynamic ET Terminator (Amersham Pharmacia) を使用した。シーケンシング用プライマーは T7 : 5'TAATACGACTACTATAGGG3' と, SP6 : 5'ATTAGGTGACACTATAGG3' を使用し, ABI Prism310 (Applied Biosystems) によって塩基配列を決定した。最後に得られた塩基配列について BLAST によるホモロジー検索を実施した。

### 4. 片節の COX1 および ITS 領域の塩基配列決定

70% エタノールで固定された 1 片節を 1.5ml エッペンチューブに入れ, PBS 500  $\mu$ l を使用して洗浄した。その後市販の

DNA 抽出キット (DN easy Tissue Kit, Qiagen) を使用し, DNA の抽出を行った。その後の PCR から塩基配列決定までの作業は虫卵において実施した方法と同一である。最後に得られた塩基配列について BLAST によるホモロジー検索を実施した。

## 結 果

### 1. 条虫卵の形態観察

条虫卵の大きさは平均 68.5  $\mu$ m × 39.3  $\mu$ m, 六鈎幼虫の大きさは 27.8  $\mu$ m × 20.0  $\mu$ m で, 発達した洋梨状装置によって包まれていた (図 1)。虫卵の形態や外部計測値から今回観察された条虫卵は裸頭条虫科のものであると考えられた。また, 糞便内から検出した虫卵と片節内から得た虫卵の形態は一致していた。

### 2. 片節の形態観察

今回得られた虫体は老熟片節であったため, 内部は虫卵で満たされ, 十分な内部構造の観察ができず, 形態による種の同定はできなかった。

### 3. 虫卵由来の ITS 領域と COXT 領域の塩基配列

COXT 領域を対象にした PCR では 450 から 800 bp 付近にかけて複数の PCR 産物を確認した (図 2)。約 450bp の PCR 産物がインサートされていた 10 個のコロニーをシーケンシングした結果, 2 種類の塩基配列を確認した。それらについて BLAST によるホモロジー検索を実施した結果, 一方は *Paranoplocephala omphalodes* (AY181549), *P. kalelai* (AY189959), *P. blanchardi* (AY189956) および *P. macrocephala* (AY181517) に近縁の配列で, 虫卵から得られた配列との差は *P. omphalodes* で 12.5 %, 他の 3 種では 13.4 % であった (図 3)。もう一方は, *Ancylostoma ceylanicum*

(AF225917), *A. tubaeforme* (AJ407940), *Necator americanus* (AJ417719) および *A. canium* (AJ407964) に類似の配列で、虫卵から得られた配列との差はそれぞれ 12.0 %, 12.0 %, 13.0 % および 15.4 % であった (図 4)。

虫卵を用いた ITS 領域の PCR では 350 ~ 600bp 付近に PCR 産物を確認することができた (図 2)。この糞便中の虫卵から得られた PCR 産物の塩基配列は、BLAST によるホモロジー検索の結果 *Penicillium* 属, *Paecilomyces* 属, *Eupenicillium* 属などの真菌類のものに類似していた。

#### 4. 片節由来の ITS 領域と COXT 領域の塩基配列

片節を用いた COXT 領域の PCR では 450 bp 付近に PCR 産物を確認した (図 2)。この配列は虫卵から得られた 2 種類の配列のうち *Paranoplocephala* 属に類似していたものと一致した。

ITS 領域の PCR では 600bp 付近に PCR 産物を確認することができた (図 2)。この PCR 産物の塩基配列は、BLAST によるホモロジー検索の結果 *Penicillium* 属, *Paecilomyces* 属, *Eupenicillium* 属などの真菌類のものに類似していた。

#### 考 察

プライマー 239 と 240 を使用して PCR を行った結果、糞便内虫卵からは裸頭条虫科の条虫類 (*Paranoplocephala* 属) に類似した配列と鉤虫科 (Ancylostomidae) の線虫類に類似した配列が確認された。前者の配列は同じプライマーにより片節から增幅された PCR 産物の塩基配列と一致した。虫卵の形態や外部計測値からも今回観察された条虫卵は裸頭条虫科のものであると考えられる。Sawada and Papasarathorn (1966) ら

は、タイのマレーバクよりこの科の *Paranoplocephala indicata* を検出した [13]。今回、検体としたマレーバクは野生由来の個体であり、この *P. indicata* が寄生していた可能性も考えられる。これまでのところ *P. indicata* の COX1 塩基配列は報告されておらず、虫卵と片節から得られた COX1 領域の配列が *P. indicata* のものであることは確認できなかった。また、今回、虫卵由来の PCR 産物からは鉤虫類に類似の配列も確認された。検疫期間中に行なわれた虫卵検査でも線虫卵 (EPG は 0.8) が確認されていた。このことから、EPG が 0.8 程度であれば、今回実施した方法によって線虫の感染を確認できると考えられる。線虫類ではミトコンドリア DNA 塩基配列の同種内変異は最大で 6 %だとされている [14]。ホモロジー検索で最も類似度が高いとされた *A. ceylanicum* および *A. tubaeforme* の配列と今回得られた配列との差は 10% 以上であったため、今回糞便を採取したバクに感染していた種がこれらである可能性は低く、感染していた線虫は別の鉤虫類であったと考えられる。

ITS 領域の PCR において、虫卵および片節から得られた配列は全て真菌類のものであった。この真菌類の配列は糞内に存在していたものか、駆虫薬により死亡した虫体に糞便内の真菌類が付着または侵入したものに由来する可能性が高い。前述したように今回使用した ITS 領域用プライマーセットは、予備実験において幾つかの条虫および線虫に対して使用可能であることが確認されていた。しかし、今回寄生のみられた条虫および線虫の ITS 領域を増幅することはできなかったと考えられる。

本研究の手技では、施設やコストの面で多数の検体を処理することは容易ではない。したがって、家畜に対しては蓄積された寄生蠕虫類の塩基配列情報から種特異的プライマーを作製

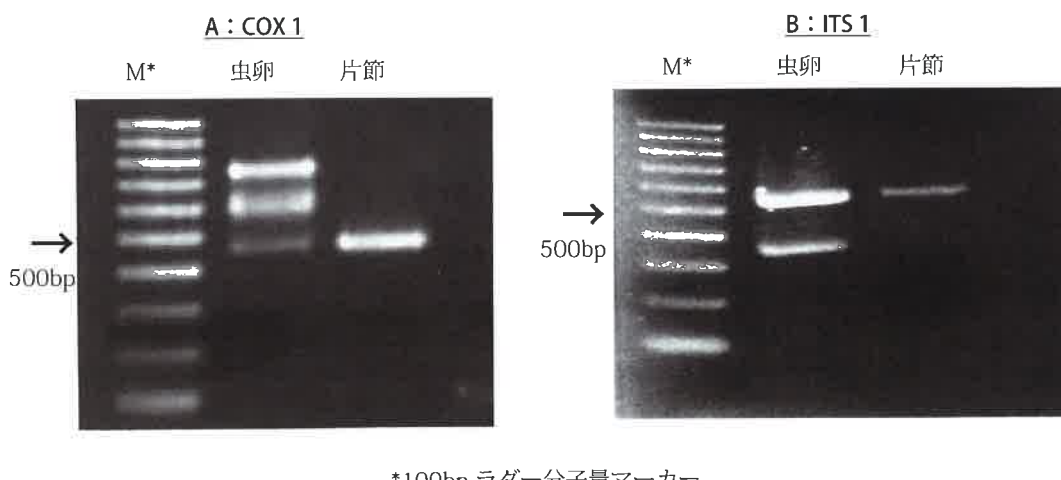


図 2 COX1 (A) および ITS1 (B) を対象とした PCR の結果。

## マレーバク糞便内蠕虫のDNAによる同定

し、糞便中虫卵からDNAを抽出しPCRを行う方法が実用的である。しかし、寄生蠕虫類の情報が限られている野生動物では、種特異的プライマーを作製することは難しい。したがって本法のように適用範囲が広いプライマーでPCRを行い、そのPCR産物をシーケンシングする方法は野生動物の寄生虫診断方法としては有用であると考えられる。また、今回の結果から本法

は線虫類と条虫類が混合感染した場合にも対処できることが示唆された。

今後の課題としては集卵方法の改良があげられる。本研究ではショ糖浮遊法により条虫卵および線虫卵を回収したため、この方法で虫卵回収が難しい吸虫の感染を見落とす可能が高い。したがって今後は虫卵を回収するとき沈殿法を併用し、吸虫

	10	20	30	40	50
<b>Sequence 1</b>					
<i>P. omphalodes</i> (AY181549)	TTCTTTTTTG	GGCATCCTGA	GGTTTATGTT	TTAATTTCG	CAGGTTTTGG
<i>P. kalelai</i> (AY189959)	.GA.....	.A.. A.. G..	.....A..	.....A..	.....A..
<i>P. blanchardi</i> (AY189956)	.GG.....	.T.. C.. G..	A.. G..	.....A..	.....G..
<i>P. macrocephala</i> (AY181517)	.GG.....	.T.. G..	G..	.....A..	.....A..
	60	70	80	90	100
<b>Sequence 1</b>					
<i>P. omphalodes</i> (AY181549)	GGTCATTGGC	CATATTTGTT	TGAGTTTAAG	AATGATGTCG	GATGTATTG
<i>P. kalelai</i> (AY189959)	A.CT..A..G	.....G..	G.....	.....G..	.....G..
<i>P. blanchardi</i> (AY189956)	..CT..A..T	.....G..	.....A..	.....G..	.....G..
<i>P. macrocephala</i> (AY181517)	T..A..A..T	.....G..G..	.....A..	.....G..	.....G..
	110	120	130	140	150
<b>Sequence 1</b>					
<i>P. omphalodes</i> (AY181549)	GATTTTATGG	TTTGTGTTT	GGCATGTTTT	CTATAGTGTG	TCTGGTAGT
<i>P. kalelai</i> (AY189959)	.G.....	...A.....	...A.....	...A..	...T.G..
<i>P. blanchardi</i> (AY189956)	.....	.....	.....T.	...A..	...T.G..
<i>P. macrocephala</i> (AY181517)	.G.....	...A..	...T..	...A..	...T.A..
	160	170	180	190	200
<b>Sequence 1</b>					
<i>P. omphalodes</i> (AY181549)	AGTGTATGGG	GACATCATAT	GTTTACTGTT	GGTTTAGATG	TAAAGACAGC
<i>P. kalelai</i> (AY189959)	....T....	..T..C.....	.....	.....	.....C..
<i>P. blanchardi</i> (AY189956)	.....T....	..G.....	.....	...C.T..C..	.....
<i>P. macrocephala</i> (AY181517)	.....T....	..T..C.....	.....	.....	.....
	210	220	230	240	250
<b>Sequence 1</b>					
<i>P. omphalodes</i> (AY181549)	TGTTTTTTT	AGATCTGTTA	CTATGATTAT	AGGAGTACCA	ACTGGTATAA
<i>P. kalelai</i> (AY189959)	A.....	..T..A..	.....	.....	.....
<i>P. blanchardi</i> (AY189956)	.....	..T..G..	.....	...T..G..	.....
<i>P. macrocephala</i> (AY181517)	A.....	..T..	.....	...G..T	.....T..
	260	270	280	290	300
<b>Sequence 1</b>					
<i>P. omphalodes</i> (AY181549)	AGGTTTTTAC	TTGATTGTAT	ATGTTATTAG	GTTCTGGGGT	TAATAAGGGT
<i>P. kalelai</i> (AY189959)	....G.....	...G.....	...G..A..	...AAT..	.....A..
<i>P. blanchardi</i> (AY189956)	....G.....	..A..G..	...G..A..	...AAT..	...C..A..
<i>P. macrocephala</i> (AY181517)	....G.....	..A..G..A..	...GA..A..	...A..T..	.....A..
	310	320	330	340	350
<b>Sequence 1</b>					
<i>P. omphalodes</i> (AY181549)	GATCCAGTT	TATGATGGTT	GATTTCTTT	GTAGTTCTTT	TTAC
<i>P. kalelai</i> (AY189959)	....TA...	..G.....	A.....	A.....C	.....
<i>P. blanchardi</i> (AY189956)	....TA...	..G.....AC	A.....	A.....A	.....
<i>P. macrocephala</i> (AY181517)	....CA...	.....A..	A.....	A.....	.....
	360	370	380	390	400

図3 寄生虫卵より得られたCOX1配列のホモロジー検索結果。最も類似度が高かった配列は*Paranoplocephala omphalodes*, *P.kalelai*, *P.blanchardi* および *P.macrocephala* のCOX1配列であった。

	10	20	30	40	50
<b>Sequence 2</b>					
<i>A. caninum</i> (AJ407964)	AAAGTATTGGT	TTGATTGGTT	GTTGGTTTG	AGCTCATCAT	ATGTACACTG
<i>A. ceylanicum</i> (AF225917)	...A.....	.....A.....	.....A.....	.....A.....	T.G..
<i>A. tubaeforme</i> (AJ407940)	...G.....	....A.....	....A.....	....C.....	T....
<i>N. americanus</i> (AJ417719)	.....A.....	....A.....	....A.....	....T.....	T....
	60	70	80	90	100
<b>Sequence 2</b>					
<i>A. caninum</i> (AJ407964)	TGGGAATAGA	TTTGGATTCT	CGTGCTTATT	TTACAGCTGC	TACTATGTTA
<i>A. ceylanicum</i> (AF225917)	...T.G..	...A.....	...G.....	...T.G..	A.....A...
<i>A. tubaeforme</i> (AJ407940)	...A.G....	...A.....A	.....A.....	.....A.....	...A.A...
<i>N. americanus</i> (AJ417719)	...T.T....	.....A.....	.....A.....	.....A.....	.....A.....
	110	120	130	140	150
<b>Sequence 2</b>					
<i>A. caninum</i> (AJ407964)	ATTGCTGTT	CCACAGGTGT	AAAAGTGT	TTAGTGATTAG	CTACATTATT
<i>A. ceylanicum</i> (AF225917)	....A..A.	.T.T....	A..G..T..	..G.....	..A..G..G..
<i>A. tubaeforme</i> (AJ407940)	.....A.....	....G.A...	....A.....	....T.G..	.....T.G..
<i>N. americanus</i> (AJ417719)	.....A.....	....A.T....	....T...G.	....G.....	.....A.....
	160	170	180	190	200
<b>Sequence 2</b>					
<i>A. caninum</i> (AJ407964)	TGGTATAAAA	ATAAGATTTC	AGCCTTTGTT	GTTGTGAGTT	ATAGGTTTA
<i>A. ceylanicum</i> (AF225917)	...A.....	...G.AT...	...A.....A..	.....A.....	T.....
<i>A. tubaeforme</i> (AJ407940)	....A.....	....GGTT...	....A.....A..A..G..	....T.....	....T.....
<i>N. americanus</i> (AJ417719)	.....A.....	....TT....	....A.....A.....G..	....T.....	....G.T.G....
	210	220	230	240	250
<b>Sequence 2</b>					
<i>A. caninum</i> (AJ407964)	TTTTTTTATT	TACCATTTGGT	GGGTTGACAG	GTTGAGTTT	ATCAAATTCT
<i>A. ceylanicum</i> (AF225917)	.....T.....	....A.A..A..	....G..G..A..	....G..T..G..	.....G.....
<i>A. tubaeforme</i> (AJ407940)	.....T.....	....T..A..G..	.....	.....	.....
<i>N. americanus</i> (AJ417719)	.....T.....	....T.C....	....T..A..A..	....T..A..	....G.....
	260	270	280	290	300
<b>Sequence 2</b>					
<i>A. caninum</i> (AJ407964)	AGACTAGATA	TCATTTACA	TGATACTTAT	TATGTAGTTA	GACATTTCA
<i>A. ceylanicum</i> (AF225917)	...T.....	...T..C..G..	.....	...T.....	...TTG-----
<i>A. tubaeforme</i> (AJ407940)	...TT.....	...T.....	.....	...T.....	...T-----
<i>N. americanus</i> (AJ417719)	...GT.G....	...T.....	....C.....	...T.....	...TTG-----
	310	320	330	340	
<b>Sequence 2</b>					
<i>A. caninum</i> (AJ407964)	TTATGTTCTT	TCTTTAGATC	CAATAATCAC	TAGTGTTCG	
<i>A. ceylanicum</i> (AF225917)	-----	-----	-----	-----	
<i>A. tubaeforme</i> (AJ407940)	-----	-----	-----	-----	
<i>N. americanus</i> (AJ417719)	.....T.G	AGG..G.G.G	..TG..TT..TGG	..T..TT..A..	

図4 寄生虫卵より得られたCOX1配列のホモジニー検索結果。最も類似度が高かった配列は *Ancylostoma ceylanicum*, *A.tubaeforme*, *Necator americanus* および *A.canium* のCOX1配列であった。

感染にも対応できるようにすべきである。次に使用するプライマーを再検討していくべきである。前述したようにITS領域についても真菌類のものを增幅する結果となつたため、今回使用したプライマー(AおよびHC2)は本診断法には適用できない。COX1用のプライマー(239および240)についても適用できる種の範囲が確定されていない。したがって今後は寄生蠕虫類

に特異性が高くかつ適応範囲の広いプライマーの開発が必要である。

寄生蠕虫類の種を同定することにより適切な駆虫薬を選択することが可能となり、宿主動物への負担も軽減できると考えられる。このことは飼育期間の延長や繁殖成績の向上の上でも重要であろう。しかし、絶滅危惧動物を含む野生動物と動物園

## マレーバク糞便内蠕虫のDNAによる同定

動物の寄生虫診断法として本法を確立するためには、その寄生蠕虫相についての情報を収集するとともに、確認された種のCOX1やITS領域の塩基配列情報を蓄積していく必要がある。

### 要 約

マラッカ動物園（マレーシア）より札幌市円山動物園に搬入された一頭のマレーバク (*Tapirus indicus*) の糞便検査を行ったところ、線虫卵と多数の条虫卵を検出した。プラジクアンテル投与後、糞中より条虫片節が採取されたが老熟片節であった。そこで、糞便中の虫卵および駆虫後排泄された片節からDN Aを抽出し、ミトコンドリアの cytochrome c oxidase subunit 1 (COX1) 遺伝子および核ゲノム中に存在する Internal transcribed spacer 領域(ITS)を対象にPCRを行った。このとき、条虫類と線虫類に共通して使用できるプライマーを用いた。その後PCR産物の塩基配列を決定し、BLASTによるホモジニティ検索を行った。その結果、ITS領域用プライマーによって得られた、虫卵および片節由来のPCR産物はすべて真菌類ITSの配列と類似していた。一方、COX1用プライマーによって得られた虫卵由来のPCR産物からは2種類の配列が得られ、一つは裸頭条虫科 (Anoplocephalidae) の *Paranoplocephala* 属に、もう一つは鉤虫科 (Ancylostomidae) の *Ancylostoma* 属に近縁の配列であった。このことから本研究において応用された方法は、寄生蠕虫相の情報が少ない野生動物の寄生蠕虫症診断法として有用である可能性が示唆された。

キーワード：マレーバク、糞便、蠕虫卵、COX1、ITS

### 謝 辞

本稿を終えるにあたり手法上の助言、ご指導をいただいた、酪農学園大学獣医学部獣医放射線学教室の遠藤大二助教授、材料としてマレーバクの糞便採取に協力して頂いた札幌市円山動物園の職員の方々に深謝いたします。なお、この研究の一部は、文科省科学研究費基盤研究助成(14560271)、同省ハイテクリサーチ研究助成(酪農学園大学大学院)および平成12・13年度厚生科学研究助成の補助を受けた。

### 引用文献

- 日本生態学会編. 2002. 外来種ハンドブック, pp357-361. 地人書館,

東京.

- 井出百合子、稻葉智之、浅川満彦. 2000. 有袋目と貧歯目を中心とするペット用輸入哺乳類の寄生蠕虫類保有状況. 野生動物医誌 5 : 157-162.
- 木本有子、浅川満彦. 1998. 北海道江別市内で販売されていたカメ類の寄生線虫類. 野生動物医誌 3 : 75-77.
- Nakamura S, Asakawa M. 2001. New record of parasitic nematodes from five species of the order Anseriformes in Hokkaido, Japan. *Jpn J Wildl Med* 6: 27-33.
- 鈴木由香、浅川満彦. 2000. 札幌市内のペットショップで販売されていたヌマガメ科のカメ類における寄生蠕虫類調査—特に *Serpinema* 属線虫の分布について. 野生動物医誌 5: 163-170.
- Zarlenga DS, Chute MB, Gasbarre LC, Boyd PC. 2001. A multiplex PCR Assay for differentiating economically important gastrointestinal nematodes of cattle. *Vet Parasitol* 97: 199-209.
- Blouin MS. 2002. Molecular prospecting for cryptic species of nematodes: mitochondrial DNA versus internal transcribed spacer. *Int J Parasitol* 32: 527-531.
- Morgan JAT, Blair D. 1998. Relative merits of nuclear ribosomal internal transcribed spacers and mitochondrial CO1 and ND1 genes for distinguishing among *Echinostoma* species (Trematoda). *Parasitology* 116: 289-297.
- Neefs JM, Van de Peer Y, Hendricks L, De Wachter R. 1990. Compilation of small ribosomal subunit RNA sequences. *Nucl Acids Res* 18: 2237-2318.
- Navajas M, Cotton D, Kreiter S, Gutierrez J. 1992. Molecular approach in spider mites (Acaria: Tetranychidae) : preliminary data on ribosomal DNA sequences. *Exp Appl Acarol* 15: 211-218.
- Zarlenga DS, Hoberg EP, Stringfellow F, Lichtenfels JR. 1998. Comparisons of two polymorphic species of *Ostertagia* phylogenetic relationships within the *Ostertagiinae* (Nematoda: Trichostrongyloidea) inferred from ribosomal DNA repeat and mitochondrial DNA sequences. *J Parasitol* 84: 806-812.
- 中山広樹. 1998. PCR生成物のサブクローニング. バイオ実験イラストレイテッド3' 本当に増えるPCR, pp.60-84. 秀潤社, 東京.
- Sawada I, Papasarathorn T. 1966. *Paranoplocephala indicata* n.sp. (Cestoda: Anoplocephalidae) from the Malayan Tapir, *Tapirus indicus*. *Jpn J Zool* 15:125-128.
- Blouin MS, Yowell CA, Courtney CH, Dame JB. 1998. Substitution bias, rapid saturation, and the use of mtDNA for nematode systematics. *Mol Biol Evol* 15: 1719-1727.